

# طراحی بیوراکتور برای افزایش تولید سورفکتین حاصل از باکتری Bacillus subtilis سابتیلیس ۱۱۰

حسین امانی؛ دانشگاه صنعتی نوشیروانی بابل، دانشکده مهندسی شیمی

## چکیده

بیوسورفکتانت‌ها در صنایعی مانند صنعت نفت، صنایع غذایی، دارویی و آرایشی کاربرد زیادی دارند. خواص بیوسورفکتانت‌ها از قبیل کاهش کشش سطحی، امولسیون کنندگی و تجزیه‌پذیری زیاد اجازه می‌دهد که آن‌ها جانشین خوبی برای سورفکتانت‌های شیمیایی شوند. در این تحقیق، از باکتری *Bacillus subtilis*<sup>۱</sup> برای تولید نوعی بیوسورفکتانت لیپیوبیوتیدی (سورفکتین) درون یک بیوراکتور جدید استفاده شد تا مشکلات ناشی از تشکیل شدید کف که در اثر تولید بیوسورفکتانت ایجاد می‌شود حل شود. برای غلبه بر تشکیل سریع کف، یک ظرف جمع‌آوری کف به بیوراکتور اضافه شد. هدف دیگر این پژوهش، خالص‌سازی و تعیین ساختار بیوسورفکتانت تولید شده و همچنین مشخص کردن شرایط بهینه دور همزن و هواده‌ی در بیوراکتور برای رسیدن به بیشترین مقدار تولید سورفکتین است. در این تحقیق، تولید سورفکتین با آنالیزهای FTIR و H NMR اثبات شد. بررسی‌های سینتیکی همچنین نشان داد تولید سورفکتین وابسته به رشد باکتری است. نتایج دیگر نشان داد که تولید در شرایط بهینه بهترتب ۵۹۵ و ۵۷۰ و ۲۵۰ می‌شود. بنا بر این، این نتایج نشان‌گر پتانسیل خوب *Bacillus subtilis* ۱۱۰ برای تولید سورفکتین و همچنین مؤثر بودن تکنیک استفاده شده برای تولید بیوسورفکتانت است.

## مقدمه

امروزه تقاضای فراوان برای سورفکتانت‌ها، بیشتر با سورفکتانت‌های شیمیایی برآورده می‌شود، اما این ترکیبات برای محیط زیست سمی و غیرقابل تجزیه‌اند. این ترکیبات ممکن است به صورت تجزیه نشده در محیط انباسته شوند یا فرایندهای تولید آن‌ها و محصولات جانبی‌شان از نظر زیست‌محیطی زیان‌آور باشد. در ضمن، سخت‌تر شدن قوانین حفاظت از محیط زیست و تلاش روزافزون گروه‌ها و سازمان‌های مختلف برای حفظ اکوسیستم‌ها، سبب شده که توجه به بیوسورفکتانت‌ها، به عنوان جایگزین‌های مناسب سورفکتانت‌های شیمیایی، روز

واژه‌های کلیدی: بیوسورفکتانت، *Bacillus subtilis*، سورفکتین، بیوراکتور

دریافت ۹۱/۱۲/۱۹ پذیرش ۹۲/۴/۱۰

\*نویسنده مسئول hamani@nit.ac.ir

۱. *Bacillus subtilis* ۲. yield of biosurfactant on substrate ۳. yield of biosurfactant on biomass  
۴. volumetric production rate

به روز افزایش بیشتری پیدا کند [۱، ۲، ۳، ۴]. مولکول‌های فعال سطحی که بهوسیلهٔ باکتری‌ها، قارچ‌ها و مخمر‌ها تولید می‌شوند، بیوسورفکتانت نامیده می‌شوند. بیوسورفکتانت‌ها در صنعت نفت و پتروشیمی، صنایع غذایی، نوشابه‌ها، مواد آرایشی، داروسازی، متالوژی، شیمی خاک، زراعت، شوینده‌ها، ازدیاد برداشت، کود شیمیایی و صنایع دیگر کاربرد دارند. بنا بر این آشنایی با این ترکیبات زیستی اهمیت بسیاری دارد. خواص منحصر بهفرد بیوسورفکتانت‌ها از قبیل کاهش کشش سطحی<sup>۱</sup> و بین‌سطحی<sup>۲</sup>، سمیت کم، تولید نسبتاً ارزان (بدلیل استفاده از مواد اولیه ارزان)، امولسیون کنندگی، قابلیت تولید کف، تجزیه‌پذیری زیاد و پذیرش محیطی اجازه می‌دهد که آن‌ها جانشین خوبی برای سورفکتانت‌های شیمیایی باشند [۳، ۴، ۵، ۶، ۷، ۸]. بیوسورفکتانت‌ها می‌توانند بین دو فاز و بین فاز‌های مختلف که قطبیت متقاوی دارند مثل، نفت / آب، هوا / آب و یا آب / سطح جامد مجتمع شوند و در ضمن، به عنوان عوامل مرطوب‌کننده سطوح جامد نیز مطرح هستند [۸، ۹، ۱۰]. سورفکتین<sup>۳</sup> تولید شده با نژادهای مختلف *باسیلوس سابتیلیس* از مؤثرترین بیوسورفکتانت‌ها با قابلیت کشش سطحی تا  $mN/m$  ۲۵ است. ساختار سورفکتین لیپوپیپید سیکلیک مشکل از ۷ اسید آمینه متصل به گروه‌های کربوکسیل و هیدروکسیل یک اسید چرب ۱۴ کربنی است [۱۱-۲۶].

طی تولید میکروبی بیوسورفکتانت‌ها به علت هوادهی و همزدگی کف زیادی تولید می‌شود زیرا این مواد کشش سطحی را کاهش می‌دهند. به طور کلی بهم زدگی شدید و هوادهی لازم برای تأمین مقادیر کافی اکسیژن، مقدار کف را بیشتر می‌کند. تشکیل کف سبب پیدایش مشکلاتی مانند جداسازی ناخواسته محصول، مواد غذایی و سلول‌ها همراه با کف می‌شود. تشکیل کف غالباً امری نامناسب است زیرا می‌تواند در طی تخمیر حجم راکتور را پرکند و باعث کارایی نداشتن مناسب آن شود. اضافه کردن ضد کف‌ها انتقال جرم و بازده تولید را کاهش می‌دهد. پس تشکیل کف مشکل شایعی در بسیاری از تخمیرهای میکروبی بهویژه در جایی است که بیوسورفکتانت‌ها تولید می‌شوند، بنا بر این باید به طریقی تشکیل کف کنترل شود [۵، ۱۸، ۲۶]. در این تحقیق از تولید کف به عنوان نقطه قوت در تولید سورفکتین استفاده کرده‌ایم، زیرا غلظت بیوسورفکتانت در کف چندین برابر مقدار آن در محیط کشت است، بنا بر این بیوراکتور را به‌گونه‌ای طراحی کرده‌ایم که برای جمع‌آوری کف مناسب باشد.

با توجه به این که فناوری تولید بیوسورفکتانت‌ها و کاربرد آن‌ها در صنایع نیازی ضروری است و کشور ما نیز یکی از وارد کنندگان این گونه مواد اولیه است، در این پژوهش در نظر است تا امکان تولید سورفکتین بهوسیله گونه *باسیلوس سابتیلیس* NLIM ۱۱۰ جدآ شده از مناطق بومی ایران بررسی گردد.

۱. Surface Tention

۲. Interficial Surface Tention

۳. Surfactin

## مواد و روش‌ها

**میکروارگانیسم:** باکتری *باسیلوس سابتاییس*<sup>۱</sup> NLIM از بانک میکروبی آزمایشگاه ملی میکروبیولوژی صنعتی<sup>۲</sup> دانشگاه الزهرا تهیه شد.

**پیش کشت:** از نوترینت براث<sup>۳</sup> که به مدت ۲۴ ساعت در دمای ۳۷°C و دور rpm ۱۵۰ قرار داده به عنوان پیش کشت برای تولید سورفکتین استفاده شد.

**ترکیب محیط کشت:** رشد سویه به صورت هوازی در محیط E<sup>۴</sup> انجام شد [۲۵]. برای تهیه محیط کشت ابتدا محلول A شامل ۱ گرم بر لیتر NaNO<sub>3</sub>, ۰/۵ گرم بر لیتر بیست اکسٹراکت<sup>۵</sup>, ۰/۵ گرم بر لیتر NaCl, ۱۰ گرم بر لیتر سوروس<sup>۶</sup>, ۰/۹ گرم بر لیتر K<sub>2</sub>HPO<sub>4</sub>, ۰/۷ گرم بر لیتر KH<sub>2</sub>PO<sub>4</sub>, محلول B شامل ۲۵ گرم بر لیتر MgSO<sub>4</sub> و محلول C شامل ۱۰۰ گرم بر لیتر Na<sub>2</sub>HPO<sub>4</sub>·2H<sub>2</sub>O به صورت جداگانه به مدت ۲۰ دقیقه در دمای ۱۲۱°C اتوکلاو می‌شوند و سپس محلول D شامل ۰/۱ گرم بر لیتر ZnSO<sub>4</sub>·7H<sub>2</sub>O, ۰/۱ گرم بر لیتر FeSO<sub>4</sub>·7H<sub>2</sub>O, ۰/۰۱ گرم بر لیتر CuSO<sub>4</sub>·5H<sub>2</sub>O, ۰/۰۱ گرم بر لیتر AlK(SO<sub>4</sub>)<sub>2</sub>, ۰/۰۱ گرم بر لیتر CaCl<sub>2</sub>·2H<sub>2</sub>O, ۱ گرم بر لیتر NaCl, ۳ گرم بر لیتر MnSO<sub>4</sub>·H<sub>2</sub>O, ۰/۵ گرم بر لیتر EDTA, ۰/۰۰۳ گرم بر لیتر NiCl<sub>2</sub>·6H<sub>2</sub>O, ۰/۰۰۵ گرم بر لیتر Na<sub>2</sub>SeO<sub>4</sub>, ۰/۰۱ گرم بر لیتر بوریک اسید<sup>۷</sup>, ۰/۰۱ گرم بر لیتر Na<sub>2</sub>MoO<sub>4</sub>·2H<sub>2</sub>O، به علت حساسیت به حرارت با فیلترهای ۰/۰۲ میکرونی استریل می‌شود. در شرایط استریل ۰ میلی‌لیتر از محلول‌های B و C و D به یک لیتر از محیط A افزوده می‌شود.

**اتوکلاو:** برای استریل کردن محیط‌های کشت و بیوراکتور از اتوکلاو برقی استفاده شد. زمان استریل ۲۰ دقیقه در دمای ثابت ۱۲۱°C است.

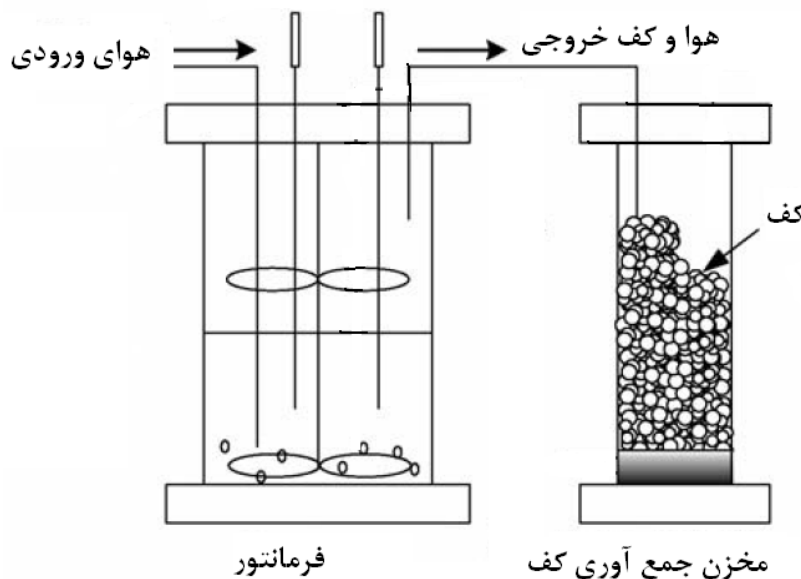
**دستگاه شیکر انکوباتور:** برای تهیه پیش کشت، فلاسک‌های حاوی نوترینت براث تلقیح شده در شرایط حرارتی و هواده‌ی مناسب، درون شیکر انکوباتور مدل کهner<sup>۸</sup> انکوبه گردید.

**بیوراکتور:** تولید سورفکتین در بیوراکتور اینفورز<sup>۹</sup> انجام پذیرفت. به منظور جداسازی کف از کشت‌های ناپیوسته، سیستمی به کار رفت که در آن ستون تفکیک کف به بالای بیوراکتور اضافه شد. تخمیر کننده ۲/۵ لیتری با ۲ همزن راشتون هر کدام به قطر ۴۵ میلی‌متر، هم زده شد. همزن‌ها ۵ میلی‌متر از یکدیگر فاصله داشتند و پایین‌ترین همزن در فاصله ۱ سانتی‌متری از پایه تخمیر کننده قرار گرفته بود. سه تیغه با فاصله‌بندی یکسان در تخمیر کننده و عرض ۱ cm متصل به دیواره مخزن بودند. ستون تفکیک کف به فضای بالای تخمیر کننده متصل شد. فرمانتور دارای سنسورهای کنترل دما، سرعت همزن، سرعت هواده، DO و pH<sup>۱۰</sup> است.

- 
- |  |   |                   |               |
|--|---|-------------------|---------------|
| ۱. <i>Bacillus subtilis</i>            | ۲. National Laboratory of Industrial Microbiology | ۳. Nutrient Broth |               |
| ۴. E-medium                            | ۵. yeast extract                                  | ۶. sucrose        | ۷. boric acid |
| ۸. Kuhner shaker X,climo-shaker ISF1_X | ۹. Infors HT, Minifors, Germany                   |                   |               |
| ۱۰. Dissolved Oxygen                   |   |                   |               |

شنگی که به مخزن جمع‌آوری کف استریل متصل است، جمع‌آوری کف را میسر می‌سازد (شکل ۱). برای تولید سورفکتین، مقدار ۱۰۰۰ میلی‌لیتر محیط کشت در شرایط استریل به درون فرمانتور اضافه گردید سپس ۵۰ میلی‌لیتر از پیش کشت (۵ درصد حجمی) به بیوراکتور در شرایط استریل اضافه گردید و نمونه‌گیری‌ها در زمان‌های مختلف انجام شد. برای بررسی تکرارپذیری، تمامی آزمایش‌ها سه بار تکرار شدند.

### pH و DO سنسورهای



شکل ۱. شماتیکی از بیوراکتور طراحی شده

**اندازه‌گیری قدم:** اندازه‌گیری قدم با استفاده از کیت ارزیابی قدم<sup>۱</sup> طبق دستورالعمل آن انجام گرفت. این کیت با استفاده از روش نورسنجی (اسپکتروسکوپی) غلظت قدم را اندازه‌گیری می‌کند.

**اندازه‌گیری بیومس:** بهمنظور جadasازی باکتری‌ها، محیط کشت در دستگاه سانتریفوژ هرئوس<sup>۲</sup> درون لوله‌های مخصوص از قبل وزن شده در  $120 \times g$  و  $4^{\circ}\text{C}$  سانتریفوژ شد. فاز بالایی (سوپرناتانت) برای انجام همه آزمایش‌ها بهمنظور بررسی میزان تولید بیوسورفکتین استفاده شد. رسوب باقیمانده یا بیومس پس از سانتریفوژ، ۲ بار با آب نمک  $90/10\%$  شستشو داده شد. پس از آن بیومس بهمدت ۲۴ ساعت در حرارت  $100^{\circ}\text{C}$  خشک و سپس توزین شد [۲۵].

**استخراج سورفکتین:** محیط کشت بهمدت ۳۰ دقیقه در  $120 \times g$  در  $4^{\circ}\text{C}$  سانتریفوژ و مایع رویی پس از فیلتر شدن ( $m/22\mu$  واتمن)، pH آن با اسید کلریدریک ۳ مولار به ۲ رسانده شد تا عمل رسوب‌گذاری انجام شود. برای خالص‌سازی، سورفکتین خام ۳ بار با حجم یکسانی از دی‌کلرومتان استخراج گردید. بعد از تبخیر فاز آبی، سورفکتین تصفیه شده بهدست آمد [۵]، [۲۵]. سنجش کشش سطحی نمونه‌ها با دستگاه تنسیومتر<sup>۳</sup> بهروش حلقه

۱. Cat. No. 10716251035, D-Glucose, UV- method

۲. Multifuge1S-R, Heraeus

۳. kruss k10T

اندازه‌گیری شد. در این روش حلقة دستگاه که از جنس آلیاژ پلاتین است، در مایع غوطه‌ور می‌گردد و به آرامی از درون مایع به خارج کشیده می‌شود. نیروی مورد نیاز برای خارج کردن حلقة از سطح مایع، به عنوان کشش سطحی مایع در نظر گرفته می‌شود. برای دقت بیشتر، کشش سطحی هر نمونه سه مرتبه اندازه‌گیری می‌شود.

### **\* طیف‌های FTIR، H NMR**

**طیف‌سنجی مادون قرمز:** طیف مادون قرمز را می‌توان مانند اثر انگشت در انسان برای شناسایی مولکول‌ها به کار گرفت. با مقایسه طیف مادون قرمز دو ماده می‌توان پی بردن که آیا واقعاً آن‌ها مشابه هستند یا نه. اگر تمام جذب‌ها در طیف دو مولکول بر یکدیگر منطبق شوند آن وقت به احتمال قریب به یقین دو ماده یکسانند. در این تحقیق از دستگاه<sup>۱</sup> FTIR یا دستگاه تبدیل فوریه مادون قرمز استفاده شد. برای این منظور، سورفکتین جامد ابتدا در بر مید پتسیم جامد به صورت یکنواخت مخلوط و فشرده شد و سپس درون دستگاه قرار گرفت.

**رزونانس مغناطیسی هسته‌ای (NMR):** این رزونانس در ناحیه فرکانس رادیویی طیف قرار دارد. H NMR را از تعداد هیدروژن مطلع می‌سازد. در حالی‌که طیف‌سنجی مادون قمز اطلاعاتی در باره نوع گروه‌های عاملی موجود در مولکول در اختیار ما قرار می‌دهد. مجموعه اطلاعات داده شده از مادون قرمز و رزونانس مغناطیسی هسته‌ای اغلب برای تشخیص ساختمن یک مولکول مجھول کافی است. H NMR در K ۲۹۸ در دستگاه<sup>۱</sup> NMR انجام شد.

### **نتایج**

**تولید سورفکتین با استفاده از بیوراکتور:** تأثیر میزان هوادهی و همزدن برای رسیدن به حداقل میزان تولید بیوسورفکتانت و تولید کلی آن طبق جدول ۱ طراحی شد. تأثیر میزان هوادهی و همزدگی بر تولید بیوسورفکتانت و تولید کلی آن در آزمایش‌ها انجام گرفته بررسی شد. همچنین از این جدول مشخص است که مقدار تولید کلی و حداقل تولید با افزایش مقدار هوادهی از ۰/۵ به ۱/۵ vvm (یعنی L min<sup>-۱</sup>) و نیز با افزایش مقدار همزدگی از ۲۰۰ به ۳۰۰ rpm شروع به زیاد شدن کردند. اما افزایش بیشتر در میزان همزدگی تا ۳۵۰ rpm سبب افزایش بیشتر میزان تولید بیوسورفکتانت نگردید. در مقابل، هر دو با افزایش بیش از حد میزان همزدگی، کاهش یافتند (یعنی ۳۵۰ rpm). جدول ۱ نشان می‌دهد که عملیات در میزان همزدگی ۳۰۰ rpm و میزان هوادهی ۱/۵ vvm سبب بهبود آمدن بهترین مقدار تولید کلی به اندازه (L. h) ۵۷ mg/L گردید. شرح مسیر زمانی برای نمونه تخمیر ناپیوسته بیوسورفکتانت با غلظت اولیه ساکاروز ۱۰ g/L و میزان هوادهی و همزدگی به ترتیب ۳۰۰ rpm، ۱/۵ vvm در شکل ۲ نشان داده شده است. چنان‌که در شکل ۲ دیده می‌شود، تولید بیومس و بیوسورفکتانت پس از مدت تقریباً ۴۴ h از کشت، به حداقل مقادیر خود یعنی ۴۲۰۰ mg/L و ۲۵۰۰ mg/L رسیدند. در این بیوراکتور، کف زیادی بین ساعت ۱ تا ۶ تولید شد و در انتهای کار ۱۰۰ ml کف جمع شد.

۱. Nuclear Magnetic Resonance

۲. Fourier Transform Infrared

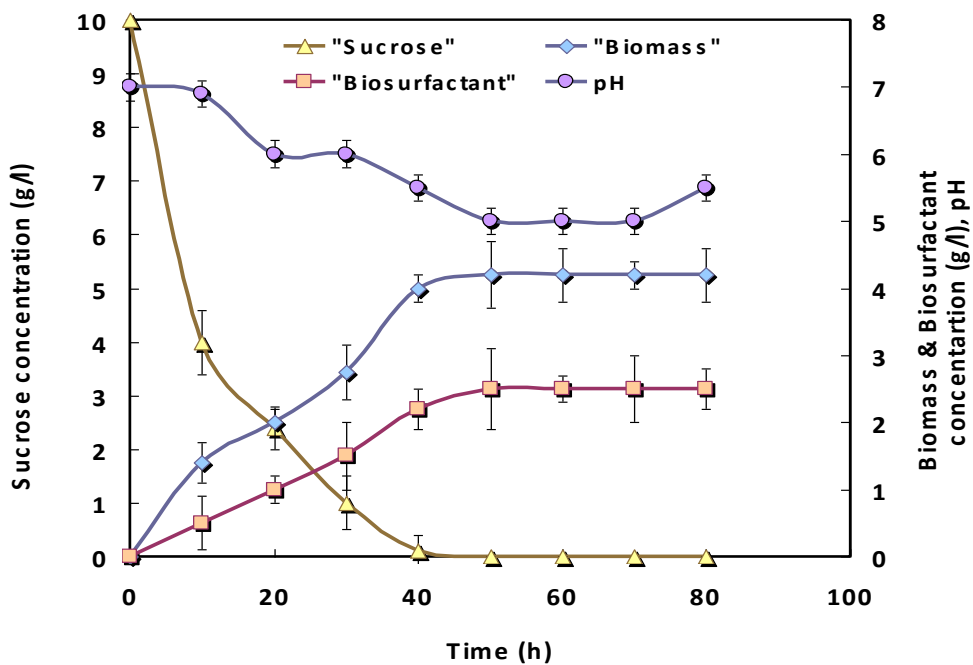
۳. Perkin-Elmer grating 1430 IR (Norwalk, CT)

۴. Bruker, 300 MHz AX 300 NMR spectrometer

غلظت بیوسورفکتانت در کف ۳ برابر غلظت در محیط کشت درون راکتور است. همچنین در جدول ۲ مقادیر  $V(\text{mg/l h})$  و  $Y_{P/S}$  (mg/g)،  $Y_{P/X}$  (mg/g) میزان هوادهی (volumetric vvm = ۱/۵) را که بهترتب ۵۹۵ و ۲۵۰ و ۵۷ به دست آمده است نشان می‌دهد.

جدول ۱. جدول طراحی تولید سورفکتین در انواع میزان هوادهی و همزدن محیط کشت در بیوراکتور طراحی شده

آزمایش	آرژمند (rpm)	میزان همزدن (vvm)	میزان هوادهی (vvm)	میزان کلی تولید (mg l <sup>-1</sup> h <sup>-1</sup> )	بیشترین مقدار غلظت سورفکتین (mg l <sup>-1</sup> )	بازده سورفکتین mg (g sucrose) <sup>-1</sup>
۱	۲۰۰	۲	۲۵	۲۵	۲۳۱۰	۱۷۰
۲	۲۵۰	۲	۳۰	۳۰	۲۴۱۵	۲۰۰
۳	۳۰۰	۲	۳۸	۳۸	۲۲۰۰	۲۳۰
۴	۳۵۰	۲	۲۹	۲۹	۱۸۰۰	۱۱۸
۵	۲۰۰	۱/۵	۲۸	۲۸	۲۲۰۰	۱۶۰
۶	۲۵۰	۱/۵	۳۳	۳۳	۲۲۴۰	۲۱۰
۷	۳۰۰	۱/۵	۵۷	۵۷	۲۵۰۰	۲۵۰
۸	۳۵۰	۱/۵	۳۳	۳۳	۱۸۰۰	۱۰۰
۹	۲۰۰	۱	۲۵	۲۵	۱۹۵۰	۱۲۰
۱۰	۲۵۰	۱	۲۹	۲۹	۲۱۰۰	۱۳۵
۱۱	۳۰۰	۱	۳۴	۳۴	۲۲۰۰	۲۰۰
۱۲	۳۵۰	۱	۳۱	۳۱	۱۸۰۰	۱۱۰
۱۳	۲۰۰	۰/۵	۱۷	۱۷	۱۸۳۰	۹۷
۱۴	۲۵۰	۰/۵	۲۱	۲۱	۱۹۲۰	۱۱۶
۱۵	۳۰۰	۰/۵	۲۸	۲۸	۲۰۰۰	۱۳۳
۱۶	۳۵۰	۰/۵	۲۵	۲۵	۱۴۰۰	۶۸



شکل ۲. نمودار رشد سلولی، تولید بیوسورفکتانت، مصرف ساکاروز، pH تحت شرایط بهینه (۳۷°C و ۳۰۰ rpm) در بیوراکتور طراحی شده (۱) در  $1/5 \text{ vvm}$

نتیجه FTIR سورفکتین تولید شده: شکل ۳ طیف FTIR سورفکتین تولید شده را نشان می‌دهد. این مشاهده‌ها کاملاً با مشخصات سورفکتین مطابقت دارد.

جدول ۲. مقایسه بازده تولید سورفکتین تولید شده با نتایج محققان دیگر

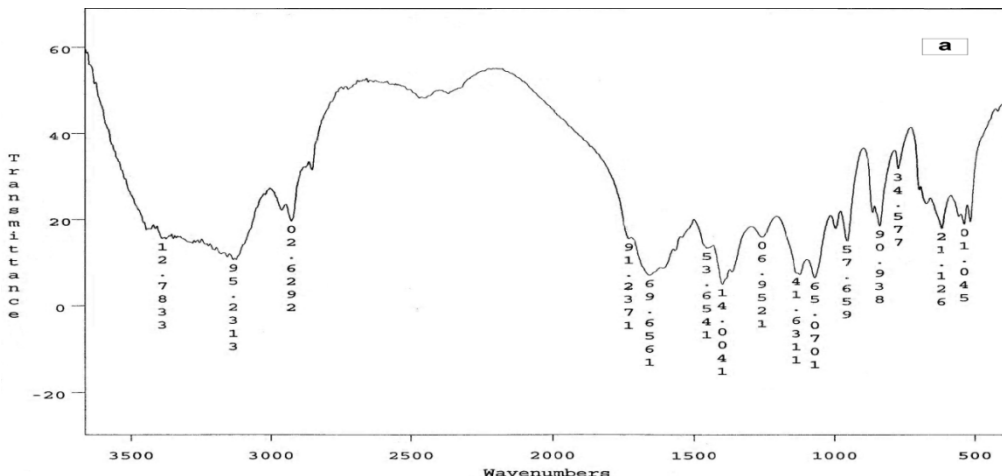
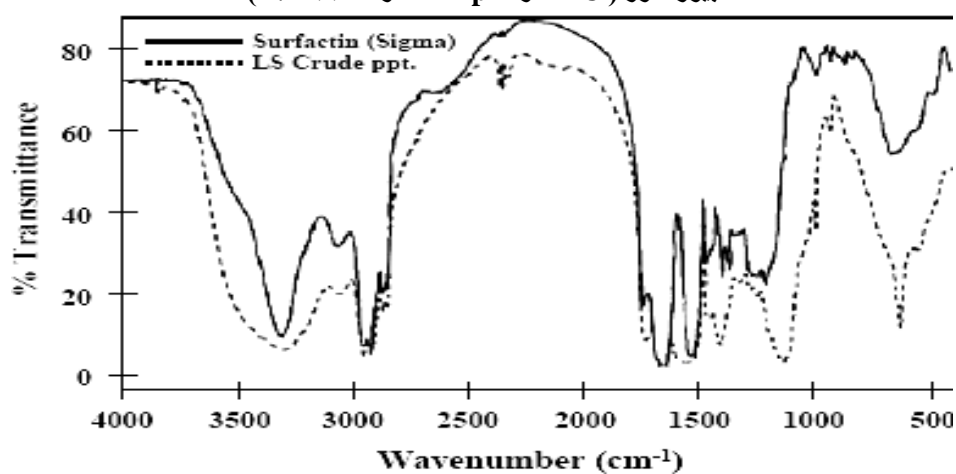
منابع	$Y_{P/S}$ mg g <sup>-1</sup>	$Y_{P/X}$ mg g <sup>-1</sup>	$Y_{X/S}$ mg g <sup>-1</sup>	V mg l <sup>-1</sup> h <sup>-1</sup>	بیشترین مقدار تولید سورفکتین (mg l <sup>-1</sup> )	بیشترین مقدار زیست تولد (mg l <sup>-1</sup> )	میکروارگانیسم
این مطالعه	۲۵۰	۵۹۵	۴۲۰	۵۷	۲۵۰۰	۴۲۰۰	باسیلوس سابتیلیس
[۲۶]	۶۸	۲۶۲	۲۶۰	۹/۷	۱۳۶	۵۲۰	باسیلوس سابتیلیس
[۲۷]	۱۶۱			۱۰۶	۶۴۵۰		باسیلوس سابتیلیس

(V) volumetric production rate

(Yp/x) yield of biosurfactant on biomass

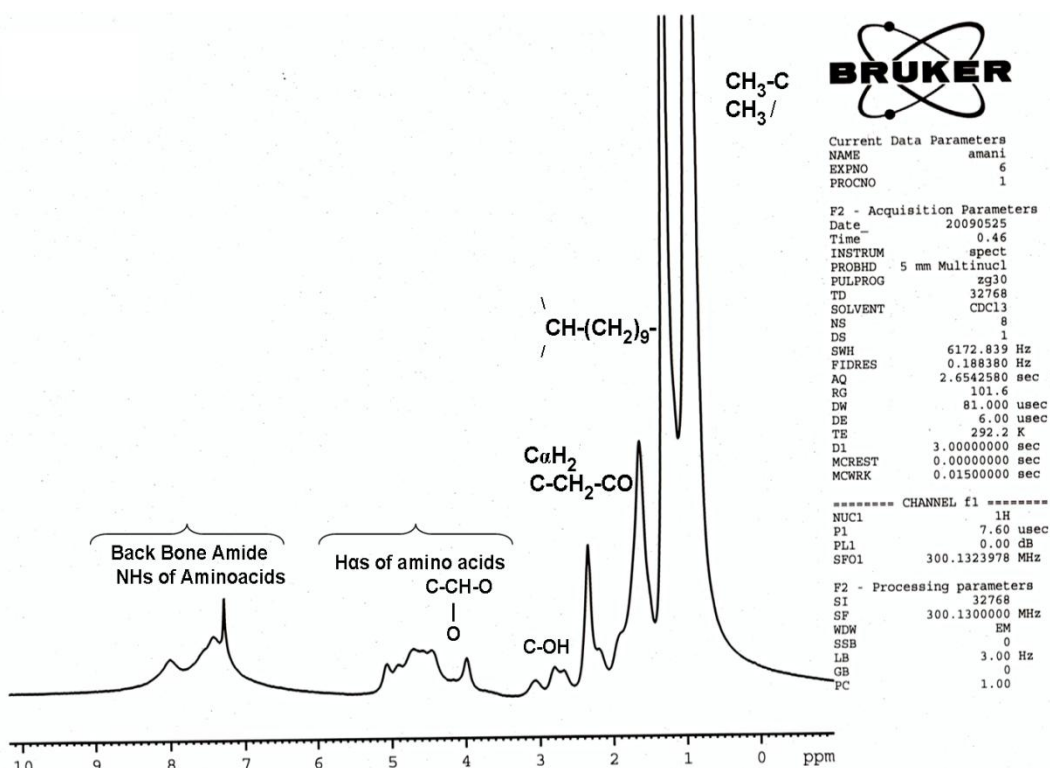
(Yp/s) yield of biosurfactant on substrate

(Yx/s) yield of biomass on substrate

شکل ۳. (الف) طیف FTIR سورفکتین تولید شده از باکتری *باسیلوس سابتیلیس* NLLM ۱۱۰ تحت شرایط بهینه بیوراکتور (۳۷°C و ۳۰۰ و ۱/۵ vvm و ۱۰۰ rpm)

شکل ۳. (ب) طیف FTIR سورفکتین تجاری موجود در بازار (از شرکت سیگما) و سورفکتین تولید شده بهوسیله Fang و همکارانش [۲۰]

**نتیجه H NMR سورفکتین تولید شده:** برای اثبات بیشتر تولید سورفکتین همچنین از آنالیز H NMR استفاده شد. نتایج در شکل ۴ نشان داده شده است. نتایج بهدست آمده از این آنالیز نشان می‌دهد که مولکول مورد نظر یک لپوپیپتید یا به عبارتی سورفکتین است.



شکل ۴. طیف H NMR سورفکتین تولید شده از باکتری *باسیلوس سابتیلیس* ۰۱۱۰ NLIM تحت شرایط بهینه بیوراکتور (۳۷°C و ۳۰۰ rpm و ۱/۵ vvm)

## بحث

شکل ۲ نشان می‌دهد که بیوسورفکتانت تولید شده لزوماً محصولی همراه با رشد است. با توجه به آزمایش‌های انجام شده در این پژوهش، ارتباط مستقیمی بین تولید سورفکتین، مصرف ساکاروز و رشد باکتری مشاهده شد. به عبارت دیگر تولید بیوسورفکتانت وابسته به رشد باکتری است. این نتایج با نتایج تحقیقات دیگر پژوهشگران سازگاری دارد. برای مثال لین<sup>۱</sup> [۱۲] با استفاده از باکتری *لینکوفورمیس*<sup>۲</sup> و کوپر<sup>۳</sup> [۲۲] با استفاده از باکتری سابتیلیس<sup>۴</sup> *BM12* و چن و همکارانش<sup>۵</sup> [۲۶] با استفاده از باکتری سابتیلیس *BBK006* و والتر<sup>۶</sup> [۱۳] با استفاده از باکتری سابتیلیس ATCC۲۱۳۳۲ نشان دادند که ارتباطی مستقیم بین تولید سورفکتین و مصرف منبع کربن و رشد باکتری وجود دارد. بنا بر این نتیجه بهدست آمده از این تحقیق در سطح قابل قبولی است.

۱. Lin      ۲. *B.linchoformis*      ۳. Cooper      ۴. *B.subtilis*      ۵. Chen et al.      ۶. Valter

افت pH در حین تولید بیوسورفکتانت می‌تواند ناشی از تشکیل مواد متابولیکی اسیدی در طی تخمیر بیوسورفکتانت باشد. از جدول ۱ مشخص است که مقدار تولید کلی و حداقل تولید با افزایش مقدار هوادهی از ۰/۵ به ۱/۵ vvm (یعنی  $1\text{ L min}^{-1}$ ) و نیز با افزایش مقدار همزدگی از ۲۰۰ به ۳۰۰ rpm شروع به زیاد شدن کردند. ظاهرًا تغذیه کافی اکسیژن و ضریب انتقال جرمی نقش‌های مهمی را در سینتیک تولید بیوسورفکتانت ایفا می‌کنند. اما افزایش بیشتر در میزان همزدگی تا ۳۵۰ rpm سبب افزایش بیشتر میزان تولید بیوسورفکتانت نگردید. در مقابل، هر دو با افزایش بیش از حد میزان همزدگی، کاهش یافتند (یعنی ۳۵۰ rpm). این پدیده می‌تواند ناشی از چند عامل باشد. یکی از عوامل ممکن است تشکیل دائمی و شدید کف در اثر میزان زیاد همزدگی باشد که باعث کاهش بهره‌وری تولید بیوسورفکتانت می‌شود. به عبارت دیگر با افزایش دور همزن تا ۳۵۰ rpm و هوادهی تا ۲ vvm کف بیش از حد تولید می‌شود که باعث عدم کارایی مؤثر فرماننور در تولید بیوسورفکتانت می‌گردد، زیرا طی تخمیر مشاهده شد که کل حجم بیوراکتور پر از کف می‌شود. همچنین به علت تولید بیش از حد کف، محیط کشت مایع درون بیوراکتور از حالت تک فاز مایع به حالت دو فازی (مخلط کف و مایع) تبدیل شد که بمنظر می‌رسد در صورت دو فاز شدن، باکتری‌های تولید کننده بیوسورفکتانت به علت رفتن به درون حباب‌ها مدت زمان کمتری با محیط کشت مایع تماس پیدا می‌کند که کاهش ارتباط آن‌ها با محیط کشت (منابع غذایی) می‌تواند عامل دیگری برای کاهش تولید باشد. کم شدن محیط کشت نیز می‌تواند عامل دیگری برای کم شدن تولید باشد زیرا طی آزمایش همواره مقداری از محیط کشت همراه کف از لوله خروجی بیوراکتور خارج می‌شود. حجم کمتر محیط کشت باقی‌مانده در پایان تخمیر این نکته را تأیید می‌شود. بنا بر این برای تولید بیوسورفکتانت‌ها باید در شرایط بهینه‌ای از دور و هوادهی عمل کرد. برای مقایسه بین کار حاضر و پژوهش‌های دیگر محققان بعضی از پارامترها مانند  $\text{Y}_{\text{P/S}}$  ( $\text{mg/g}$ )،  $\text{Y}_{\text{P/X}}$  ( $\text{mg/g}$ ) و  $\text{V}$  ( $\text{mg/l h}$ ) در جدول ۲ نشان داده شده‌اند. باید توجه داشت سورفکتین  $\text{g/l}$   $4/45$  به میلیلتر یه و همکارانش<sup>۱</sup> [۲۷] زمانی تولید شده است که جریان برگشتی وجود داشته است. چنان‌که در جدول ۲ مشاهده می‌شود باکتری استفاده شده در این تحقیق در مقایسه با گزارش‌های قبلی بازده بیشتری دارد [۲۶، ۲۷]. برای تأیید و اثبات تولید بیوسورفکتانت، طیف FTIR ماده تولید شده از این باکتری و سورفکتین تجاری موجود در بازار مقایسه شد. نتایج در شکل ۳ نشان داده شده است. در این شکل وجود عضو پپتیدی در  $\text{cm}^{-1}$   $3132-3387$ - $3132$  که نشان‌دهنده پیوند  $\text{N-H}$ - $\text{C-H}$  است، در  $\text{cm}^{-1}$   $1650$  پیوند  $\text{CO-N}$  قابل مشاهده است. همچنین حضور یک زنجیره آلفاپاتیک با پیوندهای  $\text{C-H}$  در،  $\text{cm}^{-1}$   $1456$ - $1456$  در  $\text{cm}^{-1}$   $1070$  و  $\text{cm}^{-1}$   $2929$  قابل مشاهده است. در  $\text{cm}^{-1}$   $1732$  جذب لاکتون کربنیل نیز دیده می‌شود [۲۸]. این مشاهدات کاملاً با مشخصات لیپوپپتید مطابقت دارد. برای اثبات بیشتر تولید سورفکتین همچنین از آنالیز  $\text{H NMR}$  استفاده شد. نتایج به دست آمده از این آنالیز (شکل ۴) نشان می‌دهد که مولکول مورد نظر یک لیپوپپتید و به احتمال قوی سورفکتین است. تمامی هیدروژن‌های آمیدی باندهای پپتیدی ( $\text{NH}$ ) در ناحیه

<sup>۱</sup>. Yeh et al.

۷/۲-۸ ppm و هیدروژن‌های آلفای آمینواسید در ۳/۹۸-۴/۳ ppm ظاهر می‌شوند. آنالیز H NMR نشان‌دهنده گروه  $\text{CH}_2-\text{CH}$  (CH<sub>3</sub>) در  $\delta=۰/۸۵۴$  ppm است که حاکی از شاخه‌های انتهاهی در یک اسید چرب است. بقیه طیف بهوضوح حضور بتا هیدروکسی اسید چرب را تأیید می‌کند [۲۸].

### نتیجه‌گیری نهایی

در این تحقیق، از باکتری *باسیلوس ساتبیلیس* NLIM ۱۱۰ که یک باکتری بومی جدا شده از مناطق کشاورزی ایران است، برای تولید سورفکتین درون یک بیوراکتور با طراحی جدید استفاده شد تا مشکلات ناشی از تشکیل شدید کف که در اثر تولید بیوسورفکتانت ایجاد می‌شود حل گردد. در این پژوهش اثبات شد که بازیافت کف روش مؤثری برای بازیافت بیوسورفکتانتها از محیط کشت است. برای غلبه بر تشکیل سریع کف، یک ظرف جمع‌آوری کف به بیوراکتور اضافه شد، یا به عبارت دیگر تشکیل کف زمانی مؤثر واقع شد که کف تولید شده به‌طور پیوسته جمع‌آوری شد. غلظت بیوسورفکتانت در کف جمع‌آوری شده ۳ برابر غلظت آن در محیط کشت درون راکتور است.

در این تحقیق، همچنین تولید لیپوپیپید با آنالیزهای FTIR و HNMR اثبات شد. بررسی‌های سینتیکی همچنین نشان داد تولید سورفکتین وابسته به رشد باکتری بود. نتایج دیگر نشان داد که تولید در شرایط بهینه V(mg/l.h) و Y<sub>P/S</sub> (mg/g) (V<sub>P/X</sub> (mg/g)) ۳۰۰ rpm و ۱/۵ vvm در بیوراکتور سبب بهدست آمدن مقادیر بهترتب ۵۹۵ و ۲۵۰ و ۵۷ می‌شود. بنا بر این، این نتایج نشان‌گر پتانسیل خوب *باسیلوس ساتبیلیس* NLIM برای تولید سورفکتین و همچنین مؤثر بودن تکنیک استفاده شده برای تولید بیوسورفکتانت است.

### سپاس‌گزاری

بدین‌وسیله از شرکت مهندسی و توسعه نفت برای تأمین هزینه‌ها و حمایت‌های مادی از این پژوهه، تشکر و قدردانی می‌کنیم. همچنین از دکتر محمدرضا صعودی، از دانشگاه الزهرا، بدليل جداسازی باکتری و در اختیار قرار دادن آن تشکر می‌کنیم.

### منابع

۱. رضا رمضانی، مهناز مظاہری اسدی، مهرداد آذین، تولید رامنولیپید توسط باکتری *سودوموناس آنروجنیوزا* از ملاس چغدر قند تیمار شده، نشریه علوم دانشگاه تربیت معلم، جلد ۹، شماره ۳ (۱۳۹۰) ۵۲۴-۵۱۱.
۲. فاطمه ربیعی، مهناز مظاہری اسدی، مهرداد آذین، مهرداد، تولید رامنولیپید با *سودوموناس آنروجنیوزا* در محیط کشت حاوی آب پنیر تیمار شده، نشریه علوم دانشگاه تربیت معلم، جلد ۸، شماره ۴ (۱۳۸۷) ۳۱۸-۳۰۳.
3. I. M. Banat, R. S. Makkar, S. S. Cameorta, "Potential applications of microbial surfactants, Appl. Microbiol", Biotechnol, 53 (2005) 495-508.

4. H. R. Rashedi, M. Mazaheri Assadi, E. Jamshidi, B. Bonakdarpour, "Optimization of the Production of Biosurfactant by *Pseudomonas aeruginosa* HR Isolated from an Iranian Southern Oil well", I. Journal of Chem. Chem. Eng., 25 (1) (2006) 25-30.
5. M. S. Yeh, Y. H. Wei, J. S. Chang, "Enhanced production of surfactin from *Bacillus subtilis* by addition of solid carriers", Biotechnol. Prog, 12 (2005) 1329-1334.
6. A. Y. Zekri, R. A. El-Mehaideb, "Microbial and water flooding of fractured carbonate rocks: an experimental approach, SPE No", 75217 presented at the SPE/DOE improved oil recovery symposium held in Tulsa, Oklahoma (2002).
7. A. Abalos, A. Pinaso, M. R. Infante, M. Casals, F. Garcia , A. Manresa, "Physicochemical and antimicrobial properties of new rhamnolipids by *Pseudomonas aeruginosa* AT10 from soybean oil refinery wastes", Langmuir, 17 (2001) 1367-1371.
8. R. S. Makkar, S. C. Cameotra, "Biosurfactant production by microorganisms on unconventional carbon source", J. Surfactants Deterg, 2 (1999) 237-241.
9. C. Amezcua-Vega, R. Ferrera-Cerrato, F. Esparza-Garcia, E. Ros-Leal, R. Rodriguez-Vazquez, "Effect of combined nutrients on biosurfactant produced by *pseudomonas putida*", J. Environ. Sci. Health, 39 (2004) 2983-91.
10. M. Nitschke, S. G. Coast, "Biosurfactants in food industry", Trends Food Sci. Technol, 18 (2007) 252-259.
11. A. Fiechter, "Integrated system for biosurfactant synthesis", Biotechnology, 2 (1992) 1739-1745.
12. S. C. Lin, "Recovery and Purification of the Lipopeptide Biosurfactant of *Bacillus subtilis* by ultrafiltration", Biotechnol. Techniques, 11 (1997) 413-416.
13. P. J. Valter, Lipopeptides, "An attractive class of microbial surfactants", Prog. Colloid Polym. Sci., 72 (1986) 12-18.
- 14 K. Kim, S. Y. Jung, D. K. Lee, J. K. Jung, J. K. Park, D. K. Kim, C. H. Lee, "Suppression of inflammatory responses by Surfactin, a selective inhibitor of platelet systolic phospholipase A2", Biochemical Pharmacology, 55 (1998) 975-85.
15. D. G. Cooper, C. R. Macdonald, S. F. B. Duff, N. Kosaric, "Enhanced production of surfactin from *Bacillus subtilis* by continuous product removal and metal cation additions", Appl. Environ. Microbiol, 42 (1981) 408-412.

16. P. Carrera, P. Cosmina, G. Grandi, "Method of producing surfactin with the use of Mutant of *Bacillus subtilis*", United States patent, Application No. 5227294 (1993).
17. Y. H. Wei, I. M. Chu, " $Mn^{+2}$  improves surfactin production by *Bacillus subtilis*", Biotechnol, Lett. 24 (2002) 479-82.
18. A. K. Brown, A. Kaul, J. Varley, "Continuous foaming for protein recovery: Part I. Recovery of betacasein", Biotech, Bioeng, 62 (1999) 278-90.
19. D. Vollenbrioch, M. Ozel, J. Vater, R. M. Kamp, G. Pauli, "Mechanism of inactivation of enveloped viruses by Surfactin from *Bacillus subtilis*", Biological, 25 (1997) 289-97.
20. X. Fang, Q. Wang , B. Bai, X. C. Liu, Y. Tang, P. J. Shulder, W. A. Goddard, "Engineering rhamnolipid biosurfactants as agents for microbial enhanced oil recovery", SPE No. 106048 (2007).
21. R. Sen, T. Swaminathan, "Application of response-surface methodology to evaluate the optimum environmental conditions for the enhanced production of surfactin", Appl. Microbiol, Biotechnol, 47 (1997) 358-63.
22. D. G. Cooper, "Surface active compound from microorganisms", Adv. Applied Microb., 26 (1980) 229-253.
23. I. M. Banat, N. Sarnarah, "Biosurfactant production and use in oil tank", Clean- up, world J. Microbial, Biotechnol, 7 (1991) 80-84.
24. S. Nasr, M. R. Soudi, M. R. Mehrnia, M. H. Sarrafzadeh, "Characterization of novel biosurfactant producing strains of *Bacillus spp.* isolated from petroleum contaminated soil", Iranian Journal of Microbiology, 1 (2009) 54-61.
25. N. H. Youssef, K. E. Duncan, D. P. Nagle, K. N. Savage, R. M. Knapp, M. J. McLnerney, "Comparison of methods to detect biosurfactant production by diverse microorganisms", J.of Microbiol, Meth, 56 (2004) 339-347.
26. C. Y. Chen, S. C. Baker, R. C. Darton, "Batch production of biosurfactant with foam fractionation", Chem. Technol, Biotechnol, 18 (2006) 1923-1931.
27. M. S. Yeh, Y. H. Wei, J. S. Chang, "Bioreactor design for enhanced carrier-assisted surfactin production with *Bacillus subtilis*", Process Biochemistry, 41 (2006) 1799-1805.
28. R. M. Silverstein, F. X. Webster, D. Kiemle, "Spectrometric identification of organic compounds" (2005) Edition: 7.